

05

## К вопросу о спектральном разрешении фокусирующего Брэгг-спектрометра

© Т. Чен

Московская государственная академия тонкой химической технологии  
им. М.В. Ломоносова  
E-mail: docent65@mtu-net.ru, ttchen@e-mail.ru

Поступило в Редакцию 12 апреля 2002 г.

Проведено теоретическое исследование влияния профиля интенсивности волны, сфокусированной изогнутым кристаллом, на разрешение фокусирующего брэгговского спектрометра, динамически отражающего жесткое рентгеновское излучение ( $\lambda \sim 1\text{Å}$ ). Обсуждается брэгговский нефокусирующий спектрометр на основе плоского кристалла в сравнении с фокусирующим спектрометром. Формулируются условия разрешимости спектральных линий для обоих типов спектрометров.

Изогнутые кристаллы широко используются в последнее время в качестве спектрометров рентгеновского излучения [1–10].

В настоящей работе теоретически анализируется вопрос о влиянии формы кривой распределения интенсивности дифрагированной волны на спектральное разрешение фокусирующего изогнутого кристалл-спектрометра. Будем считать, что радиус изгиба кристалла  $R_x$  в плоскости дифракционного рассеяния удовлетворяет условию „слабого“ изгиба [11]:

$$R_x \gg \kappa \Lambda^2 |(1 - \gamma_0^2)/\gamma_0 - (1 - \gamma_h^2)/\gamma_h| / (4\pi^2).$$

Тогда плосковолновый амплитудный коэффициент отражения можно аппроксимировать выражением для соответствующего коэффициента плоского (неизогнутого) кристалла. Как следует из [11,12], амплитуда дифрагированной волны в вакууме в точке  $\xi_p$ :

$$E_h(\xi_p) \sim \int_{-\infty}^{+\infty} dk G_h(k + q_0) \exp[-ik^2(1/\alpha_0 + 1/\alpha_h)/2\kappa + ik\gamma_h\xi_p/\alpha_h L_h], \quad (1)$$

где  $G_h(k + q_0)$  — фурье-компонента функции Грина для дифрагированной волны,  $\alpha_0 = \gamma_0^2/L_0 - \gamma_0/R_x$ ,  $\alpha_h = \gamma_h^2/L_h + \gamma_h/R_x$ ,  $\gamma_{0,h}$  — направляющие

косинусы для падающей и дифрагированной волн,  $L_{0,h}$  — расстояния от точечного источника сферической волны до кристалла и от кристалла до изображения источника,  $\kappa = 2\pi/\lambda$ ,  $\lambda$  — длина волны падающего излучения, явный вид  $q_0$  приведен в [11]. Выражение (1) получено для случая параболического разложения фазы падающей сферической волны.

$$G_h(k + q_0) = 2i / (k + q_0 + \{(k + q_0)^2 - \pi^2/a^2\Lambda^2\}^{1/2}),$$

$a = \sin(\varphi_0 - \varphi_h)/(2\gamma_0|\gamma_h|)$ ,  $\varphi_{0,h}$  — углы между падающей волной и нормалью к поверхности кристалла и между дифрагированной волной и нормалью,  $\Lambda = \lambda(\gamma_0|\gamma_h|)^{1/2}/C|\chi_h\chi_{-h}|^{1/2}$  — экстинкционная длина,  $\chi_{h,-h}$  — фурье-компоненты рентгеновской поляризуемости,  $C$  — поляризационный фактор.

Из (1) видно, что если  $\alpha_h = -\alpha_0$ , то интеграл (1) вычисляется аналитически точно и сводится к функции Бесселя первого рода  $J_1(t_\xi)$ :

$$I_h(\xi_p) \sim |J_1(t_\xi)/t_\xi|^2 \Theta(t_\xi). \quad (2)$$

Здесь  $t_\xi = 2\xi_p\gamma_h\sigma_h/\alpha_hL_h$ ,  $\sigma_h = \kappa\chi_h/4 \cos \theta_B$ ,  $\Theta(t_\xi)$  — функция Хевисайда.

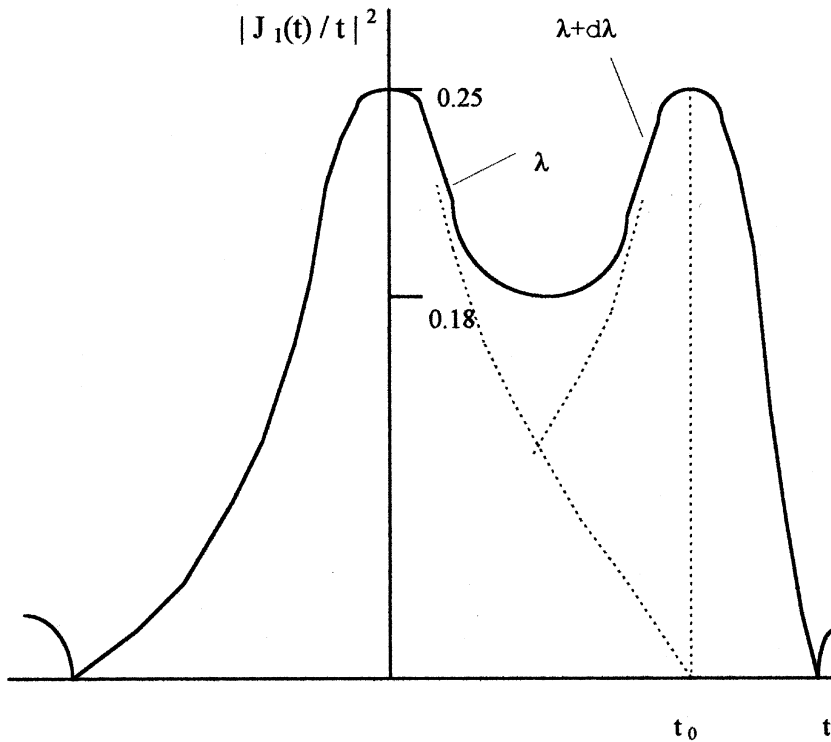
В работах [11,13] было показано, что если источник расположен на круге Роуланда ( $L_0 = R_x\gamma_0$ ), то происходит фокусировка по Иоганну и интенсивность вблизи изображения точечного источника распределена по закону:

$$I_{h,\text{Johann}}(\xi_p) \sim |\sin(t_\xi)/t_\xi|^2, \quad t_\xi = \kappa x_{eff}\xi_p/2R_x, \quad (3)$$

где  $x_{eff}$  — длина дифракционного отражения согласно [11,13].

Теоретический предел спектрального разрешения фокусирующего спектрометра Иоганна, полученный в [11,13], составляет  $d\lambda/\lambda \sim 10^{-8}$ . Понятно, что величина спектрального разрешения определяется линейной дисперсией  $D_\xi = d\xi_p/d\lambda$  и профилем кривой распределения интенсивности.

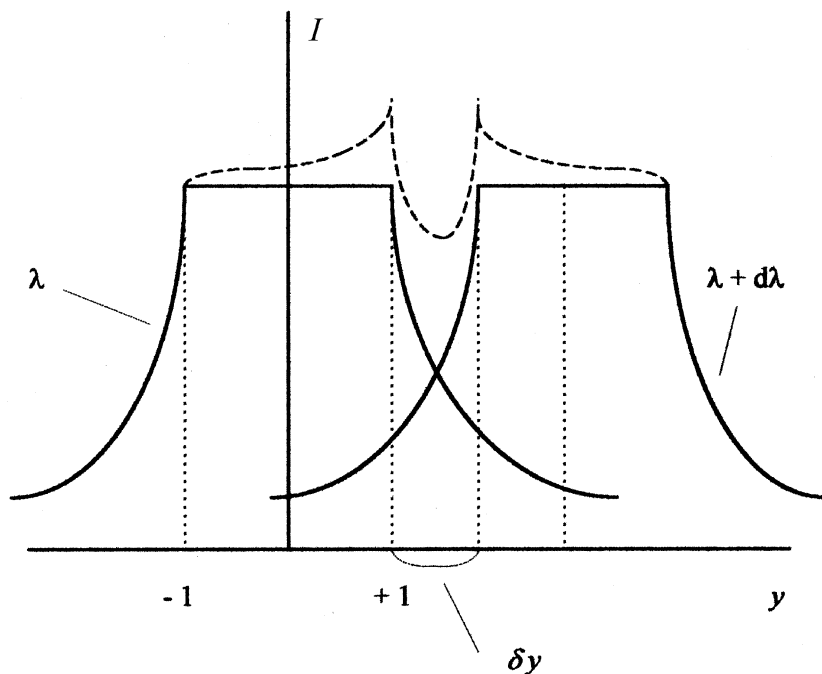
Полученная в [11,13] оценка спектрального разрешения соответствует пространственному разрешению, равному дифракционному уширению изображения точечного источника  $\Delta\xi_p$ . Величина  $\Delta\xi_p$  следует из формулы (3), если положить  $t_\xi = \pi$ , т.е. главный максимум интенсивности для спектральной линии  $(\lambda + d\lambda)$  приходится на первый нуль интенсивности для линии  $\lambda$ . Суммарная наблюдаемая интенсивность от двух спектральных линий имеет при  $t_\xi = \pi/2$  „провал“  $\approx 19\%$ .



**Рис. 1.** Распределение интенсивности волны вблизи изображения точечного источника для двух спектральных линий  $\lambda$  и  $(\lambda + d\lambda)$ . Цилиндрически изогнутый кристалл.  $L_0 \neq R_x \gamma_0$ .

Можно считать, что условие  $t_\xi = \pi$  является критерием разрешимости спектральных линий для спектрометра Иоганна, подобно известному оптическому критерию Рэлея.

В случае, если источник не находится на круге Роуланда, для разрешения линий  $\lambda$  и  $(\lambda + d\lambda)$  также потребуем, чтобы главный максимум интенсивности линии  $(\lambda + d\lambda)$  совпал с первым нулем ( $t_0 \cong 3.85$ ) функции Бесселя  $J_1(t_\xi)$  (рис. 1). Анализ показывает, что при этом интенсивность между линиями „падает“ на 28%, т.е. линии разрешены. Отметим, что при  $L_0 \neq R_x \gamma_0$  условие  $t_\xi = \pi$  уже



**Рис. 2.** Угловое распределение интенсивности ( $I$ ) дифрагированной волны для двух спектральных линий  $\lambda$  и  $(\lambda + d\lambda)$  для случая сферической падающей волны. Плоский кристалл.

не достаточно для надежного разрешения линий, так как суммарная интенсивность при  $t_\xi = \pi/2$  практически равна максимальной интенсивности для обеих линий. Следует заметить, что разложение в спектр происходит благодаря эффекту фокусировки в плоскости наблюдения на расстоянии  $L_h$  от кристалла.

Рассмотрим теперь расфокусирующий спектрометр на основе плоского кристалла. В этом случае  $\alpha_h \neq \alpha_0$  и для анализа интеграла (1) воспользуемся методом стационарной фазы. Стационарная точка  $k_{\text{stat}} = -\kappa \xi_p / \{\gamma_h (1/\alpha_0 + 1/\alpha_h)\}$ . Пространственное распределение интенсивности определяется квадратом модуля функции

$|G_h(k_{\text{stat}} + q_0)|^2$ , аргумент которой сведем к обычной угловой переменной  $y$ , а саму функцию — к виду, более подходящему для практических расчетов:  $|y - (y^2 - 1)^{1/2}|^2$ . Для симметричной геометрии дифракции  $\sigma$ -поляризованной волны:  $y = (\Delta\theta \sin \theta_B + \chi_0)/(\chi_h \chi_{-h})^{1/2}$ , где  $\Delta\theta = \theta - \theta_B$  — отклонение от точного брэгговского угла. Ясно, что при отсутствии фокусировки в каждую точку  $\xi_p$  „приходит“ только один парциальный луч, отраженный плоским кристаллом, т.е. координата  $\xi_p$  зависит однозначно от  $\Delta\theta$ . Спектр от плоскокристаллического спектрометра наблюдается обычно вблизи от кристалла в отличие от фокусирующего спектрометра. Понятно, что наличие области полного отражения („плоский“ участок кривой на рис. 2) ухудшает спектральные характеристики плоскокристаллического спектрометра по сравнению с фокусирующим спектрометром. Пусть расстояние между правым краем кривой отражения для линии  $\lambda$  ( $y = 1$ ) и левым краем кривой для линии  $(\lambda + d\lambda)$  равно  $\delta y$ . Потребуем, чтобы величина „провала“ интенсивности между линиями была не меньше 20%. Тогда, положив  $\delta y \ll 1$ , имеем неравенство:

$$1 + \delta y/2 - (\delta y)^{1/2} \leq (0.4)^{1/2}. \quad (4)$$

Решая неравенство (4) с учетом  $\delta y \ll 1$  получим:

$$\delta y \geq [1 - \{1 - 2(1 - (0.4)^{1/2})\}] \approx 0.735, \quad (5)$$

откуда  $\delta(\Delta\theta) \geq |\chi_{hr}|(2 + \delta y)/\sin 2\theta_B$ .

С помощью закона Брэгга получим оценку спектрального разрешения для плоскокристаллического спектрометра:

$$d\lambda/\lambda \geq \text{ctg } \theta_B \delta(\Delta\theta). \quad (6)$$

Для отражения (220),  $\text{CuK}_\alpha$ -излучения от кристалла Si получим  $d\lambda/\lambda \geq 7.7 \cdot 10^{-5}$ , что примерно на 2–3 порядка хуже, чем для фокусирующего спектрометра.

Отметим, что современный уровень развития измерительной аппаратуры позволяет различать интенсивности, отличающиеся меньше, чем на 20%, что позволяет несколько улучшить теоретические оценки для спектрального разрешения, полученные в настоящей работе.

## Список литературы

- [1] *Hölzer G., Wehrhan O., Heinisch J. et al. // Phys. Scripta. 1998. V. 57. P. 301–309.*
- [2] *Hölzer G., Wehrhan O., Förster E. // Cryst. Res. Technol. 1998. V. 33. P. 555–567.*
- [3] *Renner O., Mißalla T., Sondhaus P. et al. // Rev. Sci. Instr. 1997. V. 68. P. 2393–2403.*
- [4] *Hamalainen K., Krish M., Kao C.C. et al. // Rev. Sci. Instr. 1995. V. 66. P. 1525–1527.*
- [5] *Lehnert U., Zschornack G. // Journal of X-Ray Sc. and Techn. 1996. V. 6. P. 83–93.*
- [6] *Fraenkel B.S., Bitter M., Von Goeler S., Hill K. // Journal of X-Ray Sc. and Techn. 1998. V. 8. P. 171.*
- [7] *Hölzer G., Förster E., Grätz M. et al. // Journal of X-Ray Sc. and Techn. 1998. V. 8. P. 50.*
- [8] *Брызгунов В.А. // ЖТФ. 2000. Т. 70. С. 49–51.*
- [9] *Латуш Е.М., Мазурицкий М.И. // Письма в ЖТФ. 2002. Т. 28. В. 1. С. 49–53.*
- [10] *Латуш Е.М., Мазурицкий М.И. // Письма в ЖТФ. 2002. Т. 28. В. 4. С. 35–40.*
- [11] *Габриелян К.Т., Чуховский Ф.Н., Пискунов Д.И. // ЖЭТФ. 1989. Т. 96. В. 3 (9). С. 834–846.*
- [12] *Чен Т. // ЖТФ. 2002. Т. 72. В. 7. С. 92–94.*
- [13] *Габриелян К.Т., Чуховский Ф.Н., Пинскер З.Г. // ЖТФ. 1980. В. 8. С. 1641–1646.*